



Hoja 32-19-AD-OG-221.- Al fondo conglomerados cuaternarios Qcg . Encima QG
14-16 1w



Hoja 32-19-AD-OG-222.- Conglomerados cuaternarios Qcg
14-16



Hoja 32-19-AD-OG-223.- Aluvial del Ebro (QAl). Al fondo, Cherta. En primer término, a la derecha las dolomías $J_{24} - C_{13}$



Hoja 32-19-AD-OG-224.- Dolomías del Jurásico superior y tran-
sito al Cretácico (J_2^I - C_{13}).



Hoja 32-19-AD-OG-225.- Dolomías del Dogger superior (J_2^{0-1})
 $3-24$



Hoja 32-19-AD-OG-226.- Al fondo, Lías superior. El barranco es Bajociense (J_{14-22}^{3-0})



Hoja 32-19-AD-OG-227.- Margocalizas del Bajociense (J_{14-22}^{3-0}). A la derecha, contacto con las dolomías del Dogger superior (J_{23-24}^{0-1})



Hoja 32-19-AD-OG-228.- Margas y margocalizas del Bajociense
(J³⁻⁰
14-22)



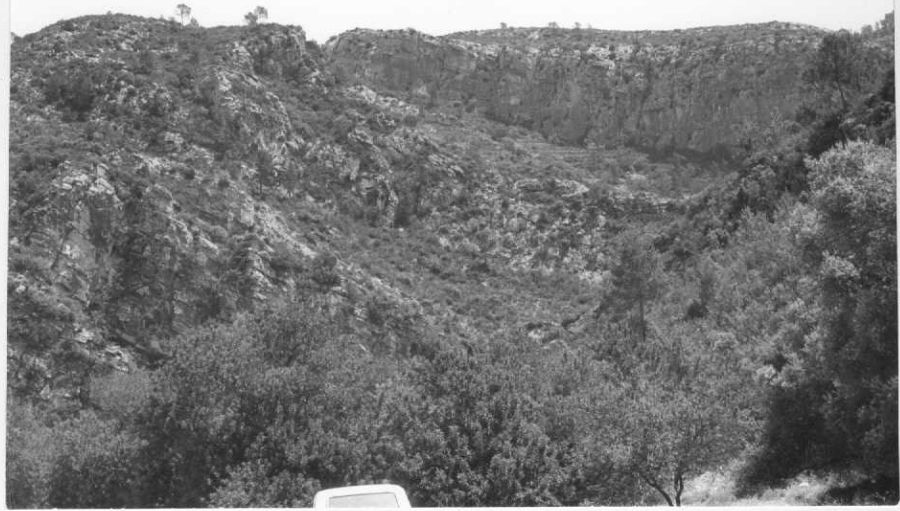
Hoja 32-19-AD-OG-229.- Calizas del Pliensbachiano (J₁₃)



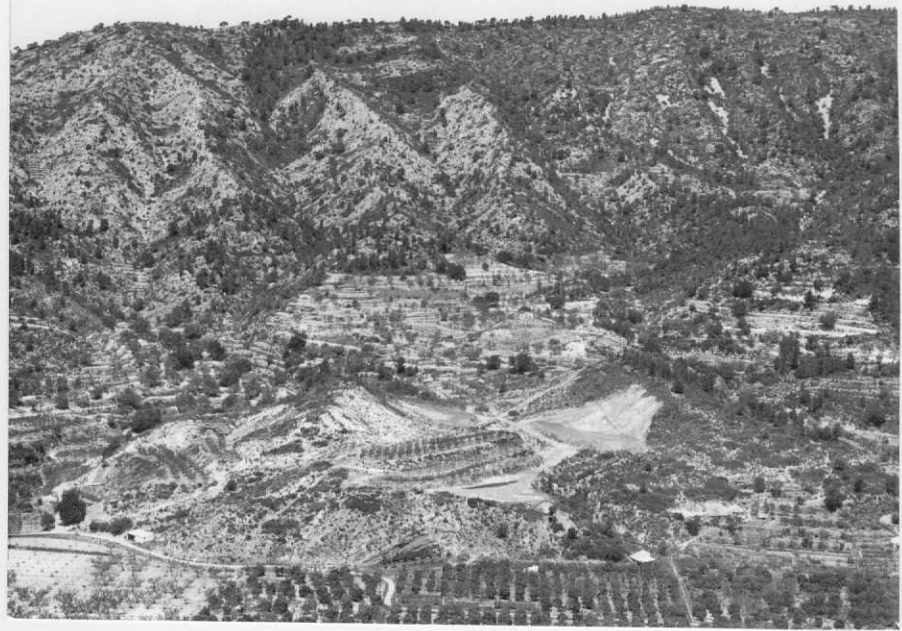
Hoja 32-19-AD-OG-230.- Dolomías brechoides del Lías inferior (J_1)



Hoja 32-19-AD-OG-231.- Muschelkalk superior (T_{G23})

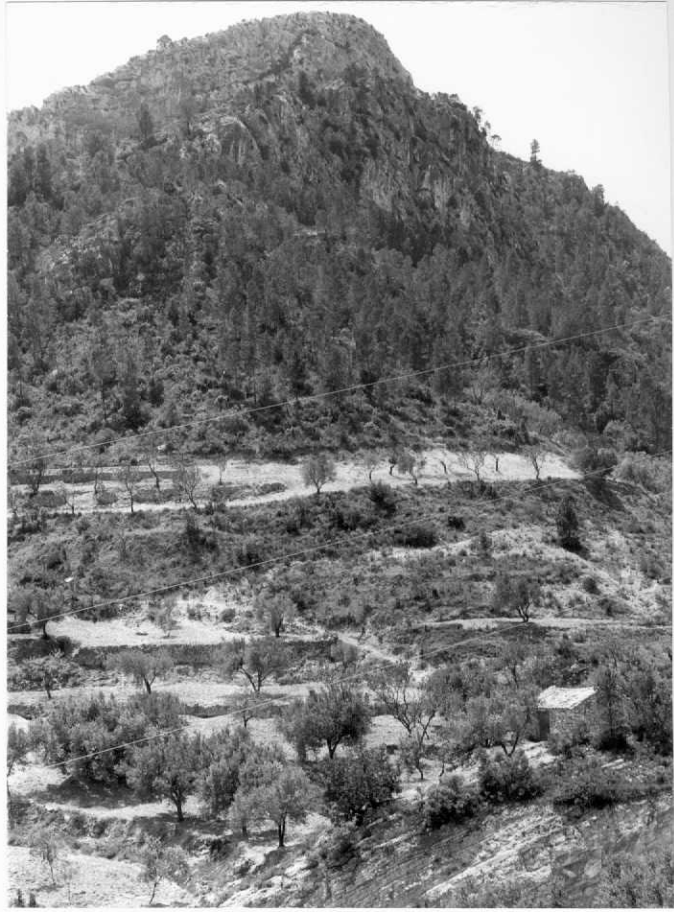
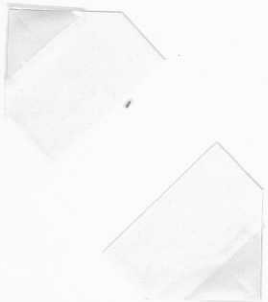


Hoja 32-19-AD-OG-232.- Dolomías del Lías inferior (Jd_1).
El banco masivo del fondo corresponde
a J_1 .



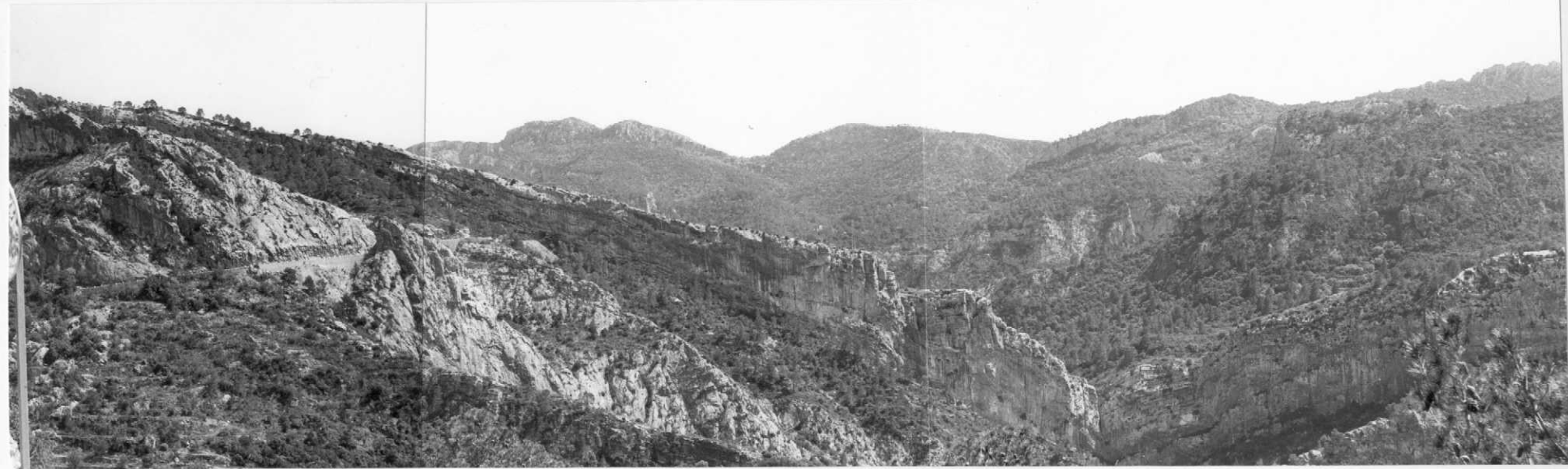
Hoja 32-19-AD-OG-233.- El primer término el Triásico. Al fondo, dolomías del Lías inferior (Jd_1) y (J_1)

Hoja 32-19-AD-OG-234.- Al fondo,
Dolomías del Lías inferior; deba
jo Keuper y Muschelkalk superior
(angulo inferior derecho, debajo
de la casa)

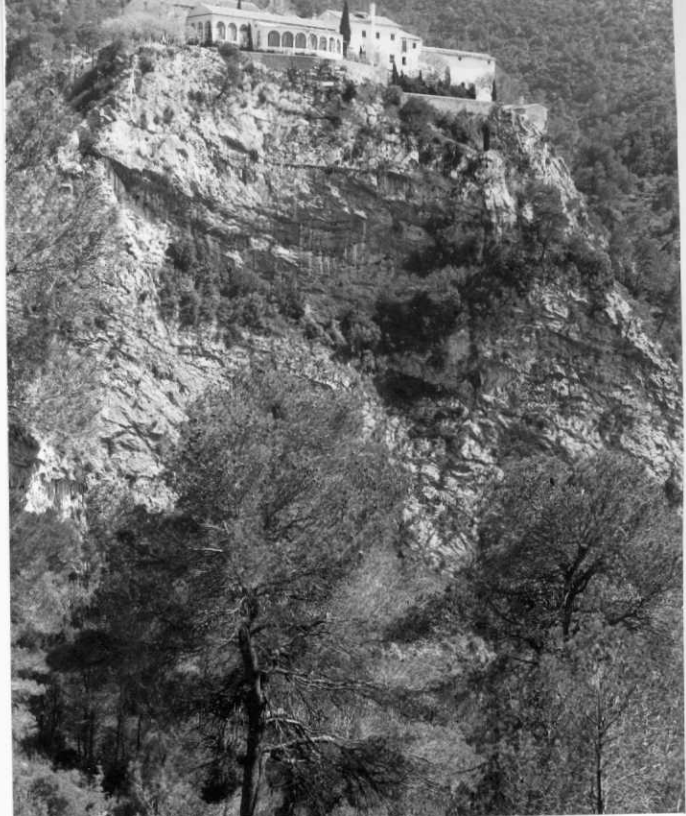


Hoja 32-19-AD-OG-235.- Muschelkalk
(T_{G23})

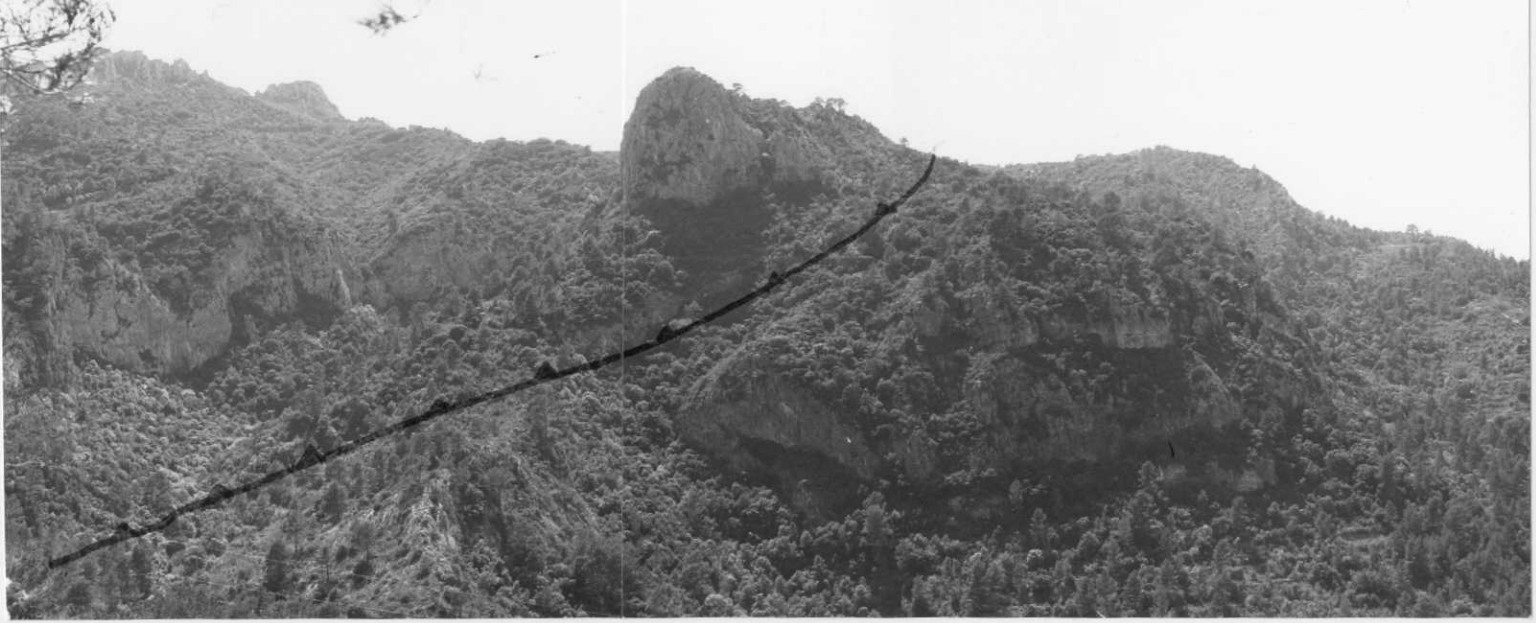




Hoja 32-19-AD-OG-237. - Dolomías brechoides del Lías inferior (J_1). El cabalgamiento pasa por detrás de los bancos masivos. Al fondo, dolomías del Jurásico superior-Cretácico inferior ($J_{24}-C_{13}$)



Hoja 32-19-AD-OG-238.- El balneario de Cardó, sobre las dolomías brechoides del Lías inferior -
(J₁)



Hoja 32-19-AD-OG-239.- Cabalgamiento de Cardó. El frente cabalgante rodea el mogote pasando por el pequeño collado.



Hoja 32-19-AD-OG-240.- Cuaternario del Pla del Burga QG
1w



Hoja 32-19-AD-OG-241.- Caliza del Cretácico inferior ($J_{33}-C_{14}^2$)



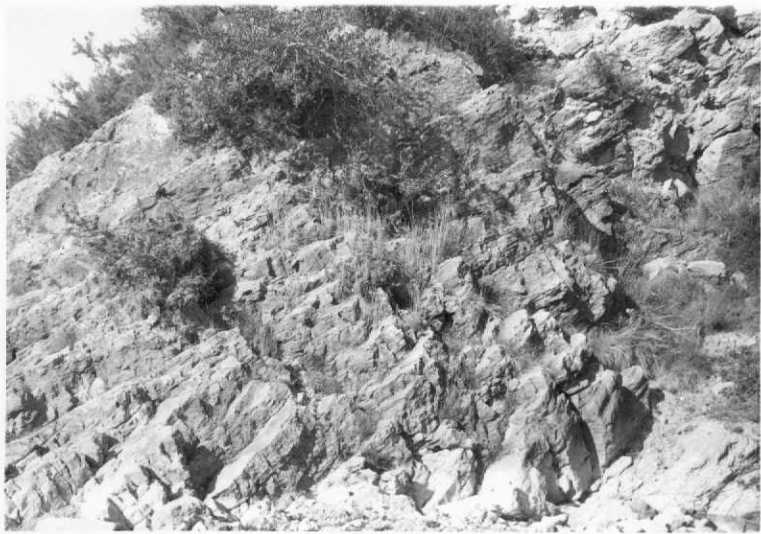
Hoja 32-19-AD-OG-242.- Calizas y margas del tramo intermedio
de las dolomías masivas del Jurásico
($J_{33}-C_{13}$)



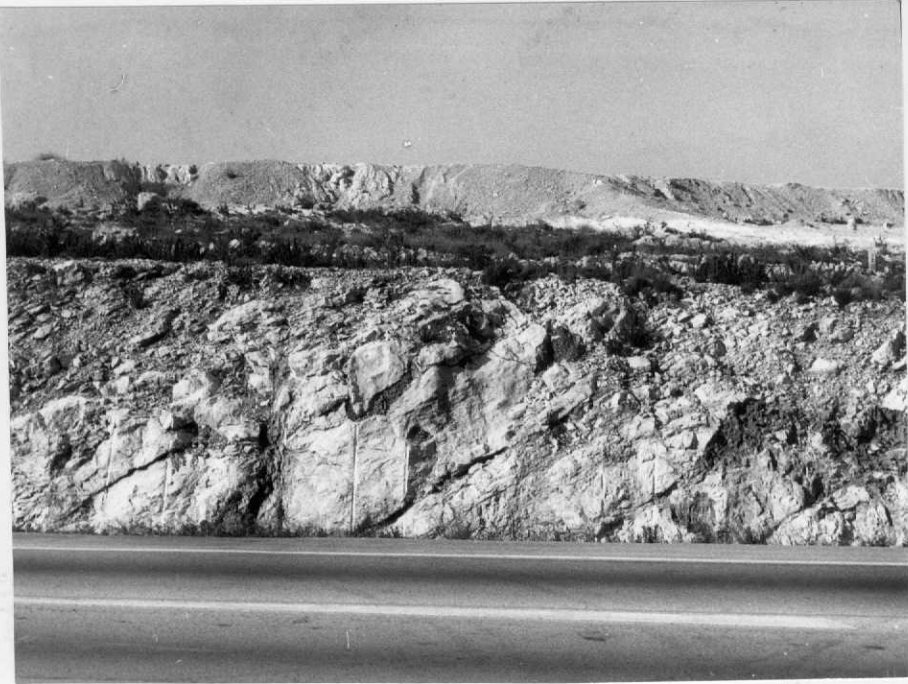
Hoja 32-19-AD-OG-243.- Calizas del Cretácico inferior
 $(J_{33}-C_{14}^2)$



Hoja 32-19-AD-OG-244.- Brecha cuaternaria QG , Al fondo, el macizo mesozoico
1w



Hoja 32-19-AD-OG-248.- Tránsito Aptiense-Albiense (C₁₅)



Hoja 32-19-AD-OG-250.- Aptiense (C₁₅)



Hoja 32-19-AD-OG-251.- Cuaternario (QG_{Iw} y Qcg₁₄₋₁₆)



Hoja 32-19-AD-OG-252.- Aptiense (C₁₅)